

Анализ и прогнозирование временных рядов в *BSTS* и *Prophet*

Шрамова Виктория

2017-06-30

Введение

Стандартным методом анализа временных рядов является построение *ARIMA*-моделей (autoregressive integrated moving average)¹, которые являются обобщением *ARIMA*-моделей для работы с нестационарными временными рядами. Формально модель *ARIMA*(p, d, q) можно определить следующим образом:

$$\Delta^d y_t = \gamma + \sum_{i=1}^p \alpha_i \Delta^d y_{t-i} + \sum_{j=1}^q \beta_j \varepsilon_{t-j} + \varepsilon_t,$$

где y_t — нестационарный временной ряд, ε_t — случайная ошибка (белый шум), $\gamma, \alpha_i, \beta_j$ — параметры модели (неизвестные константы, которые нужно оценить), Δ^d — оператор разности порядка d , воздействие которого на y_t делает ряд стационарным (при $d = 0$ получаем *ARMA*-модель).

Несмотря на универсальность и хорошее качество подгонки *ARIMA*-моделей, данный метод зачастую вызывает сложности интерпретации результатов из-за необходимости дифференцирования временного ряда. Также невозможно выделить и анализировать компоненты, лежащие в основе структуры исходного временного ряда (модель *ARIMA* создаёт стационарный временной ряд, удаляя тренд и сезонность изначального ряда).

В данной работе предлагается рассмотреть модели байесовских структурных временных рядов как альтернативный метод моделирования и прогнозирования временных рядов. Реализация данных моделей осуществлена в пакетах *BSTS* и *Prophet* языка программирования R, более подробно о них будет рассказано ниже. Однако стоит отметить, что оба пакета основаны на моделях байесовских структурных временных рядов и различаются лишь в том, на какие компоненты раскладывается временной ряд, и способе моделирования данных компонент. Качество прогнозов, получаемых данными методами, будет сравниваться с помощью метрики *RMSE*:

$$RMSE = \left(\frac{1}{n} \sum_{t=1}^n (A_t - F_t)^2 \right)^{\frac{1}{2}},$$

где A_t — истинное значение временного ряда в момент времени t ; F_t — прогнозное значение временного ряда в момент времени t .

Пакет *BSTS* и модели структурных временных рядов

Пакет *BSTS*² предназначен для работы с моделями байесовских структур-

¹ Box, George; Jenkins, Gwilym (1970). *Time Series Analysis: Forecasting and Control*. San Francisco: Holden-Day.

² Автор: Steven L. Scott, Google

ных временных рядов. Данные модели представляют собой модели регрессии, в которых объясняющие переменные являются функциями от времени, с возможностью указания априорного распределения переменных и их параметров. Иными словами, в байесовских структурных моделях такие ненаблюдаемые элементы, как тренд, сезонность, случайные ошибки и другие релевантные компоненты явно моделируются и анализируются. Данный метод противопоставляется философии *ARIMA*-моделей, где тренд и сезонность ряда явно не моделируются.

Базовая структурная модель может быть представлена в виде:³

$$y_t = \mu_t + \gamma_t + \varepsilon_t, \quad t = 1, \dots, T \quad (1.1)$$

где μ_t — тренд, γ_t — сезонная компонента, ε_t — случайная ошибка ($\varepsilon_t \sim WN(0, \sigma_\varepsilon^2)$).

В зависимости от спецификации модели из уравнения (1.1) можно исключать отдельные компоненты или добавлять новые (например, авторегрессионную составляющую). Далее будут представлены примеры возможных спецификаций модели.

Локальный уровень

Модель локального уровня имеет вид:

$$y_t = \mu_t + \varepsilon_t, \quad \varepsilon_t \sim WN(0, \sigma_\varepsilon^2) \quad (1.2)$$

$$\mu_t = \mu_{t-1} + \eta_t, \quad \eta_t \sim WN(0, \sigma_\eta^2) \quad (1.3)$$

Уравнение (1.3) представляет собой случайное блуждание и задаёт локальный уровень (следующее значение уровня повторяет предыдущее с некоторой ошибкой), уравнение (1.2) задаёт временной ряд как локальный уровень с некоторой случайной ошибкой ε_t .

Априорное распределение в пакете BSTS:

Добавление локального уровня производится с помощью функции *AddLocalLevel()*, при этом предполагается, что

- 1) $\sigma_\eta^2 \sim IG(\alpha, \beta)$ — имеет обратное Гамма-распределение и $\eta_t | \sigma_\eta^2 \sim N(0, \sigma_\eta^2)$. Из-за того, что $\eta_t | \sigma_\eta^2 \sim N(0, \sigma_\eta^2)$, априорное распределение дисперсии ошибки σ_η^2 можно выразить через масштабированное обратное Хи-квадрат распределение (Scaled inverse chi-squared distribution): $\sigma_\eta^2 \sim \chi_{ScI}^2(\nu, \tau^2)$, причём через его параметры можно выразить параметры обратного Гамма-распределения: $\alpha = \frac{\nu\tau^2}{2}$, $\beta = \frac{\nu}{2}$. Таким образом, $\sigma_\eta^2 \sim \chi_{ScI}^2(\nu, \tau^2) \Leftrightarrow \sigma_\eta^2 \sim IG(\frac{\nu\tau^2}{2}, \frac{\nu}{2})$.

- 2) Начальное значение уровня имеет нормальное распределение:

$$\mu_0 \sim N(\mu, \sigma^2).$$

³ A. C. Harvey and N. Shephard. *Structural time series models*. In G. Maddala, C. Rao, and H. Vinod, editors, Handbook of Statistics, vol. 11, ch. 10, p. 261–302. Elsevier, 1993.

Здесь и далее $WN(0, \sigma^2)$ будет обозначать процесс белого шума.

Параметры τ^2 и ν (соответственно, α и β) можно задать внутри функции *AddLocalLevel()* в аргументе *sigma.prior* (NULL по умолчанию), который является объектом класса *SdPrior*. Для этого при инициализации *sigma.prior* определяется числовой аргумент *sigma.guess* (для τ , принимает только положительные значения), в котором указывается априорное мнение о величине стандартного отклонения σ , и числовой аргумент *sample.size* (для ν , принимает положительные, но не обязательно целые значения), в котором указывается степень нашей уверенности в априорной величине σ (как если бы оценка априорной величины σ рассчитывалась по $n = \text{sample.size}$ наблюдениям: чем больше n , тем точнее оценка и больше наша уверенность в априорной величине σ). Например, для $\tau^2 = 4$ и $\nu = 3$ (соответственно, для $\alpha = 6$, $\beta = 1.5$): *sigma.prior* = *SdPrior(sigma.guess = 2, sample.size = 3)*.

Параметры μ и σ можно задать внутри функции *AddLocalLevel()* в аргументе *initial.state.prior* (NULL по умолчанию), который является объектом класса *NormalPrior*. Для этого при инициализации *initial.state.prior* определяется числовой аргумент *mu*, в котором указывается априорное мнение о величине математического ожидания μ , и числовой аргумент *sigma*, в котором указывается априорное мнение о величине стандартного отклонения σ . Например, для $\mu = 2$ и $\sigma = 1$: *initial.state.prior* = *NormalPrior(mu = 2, sigma = 1)*.

Дефолтные значения аргументов функции *AddLocalLevel()*:

```
# sdy is standard deviation of the time series
# if sdy, initial.y are ignored
sdy <- sd(y, na.rm = TRUE)
initial.y <- y[1]
# if sigma.prior = NULL
# default sample.size = .01
sigma.prior <- SdPrior(sigma.guess = .01 * sdy,
                        upper.limit = sdy)
# if initial.state.prior = NULL
initial.state.prior <- NormalPrior(mu = initial.y,
                                    sigma = sdy)
```

```
1 AddLocalLevel <- function(
2   state.specification = NULL,
3   y,
4   sigma.prior = NULL,
5   initial.state.prior = NULL,
6   sdy,
7   initial.y)
```

```
1 # generate random walk
2 rand$rand <- arima.sim(list(order = c(0,1,0)),
3   n = length(rand$Year)-1)
4 training_cut_date <- as.Date(as.character("
5   1920-01-01"),format = "%Y-%m-%d")
6 data_train <- rand[rand$Year <= training_cut_
7   date,]
8 yts <- xts(data_train$rand, order.by=data_train
9   $Year)
10 # fit BSTS with local level
11 ss <- AddLocalLevel(list(), yts)
12 model <- bsts(yts, state.specification = ss,
13   niter = 500)
```

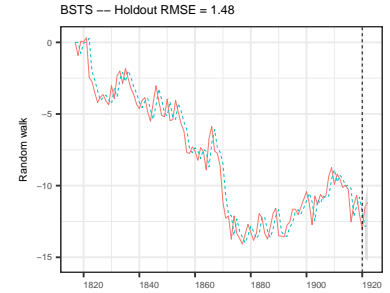


Рис. 1: Example of Local level (1.2), (1.3)

Локальный линейный тренд

Модель локального линейного тренда имеет вид:

$$y_t = \mu_t + \varepsilon_t, \quad \varepsilon_t \sim WN(0, \sigma_\varepsilon^2)$$

$$\mu_t = \mu_{t-1} + \beta_{t-1} + \eta_t, \quad \eta_t \sim WN(0, \sigma_\eta^2) \quad (1.4)$$

$$\beta_t = \beta_{t-1} + \zeta_t, \quad \zeta_t \sim WN(0, \sigma_\zeta^2) \quad (1.5)$$

Уравнения (1.4) и (1.5) задают стохастический тренд: случайные составляющие η_t и ζ_t позволяют меняться во времени уровню и наклону тренда соответственно. Уравнение ряда представляет собой стохастический тренд с некоторым случайным отклонением ε_t . Заметим, что чем больше значения дисперсий σ_η^2 и σ_ζ^2 , тем сильнее случайные отклонения от тренда. Если $\sigma_\eta^2 = \sigma_\zeta^2 = 0$, то получается частный случай детерминированного линейного тренда.

Априорное распределение в пакете BSTS:

Добавление локального линейного тренда производится с помощью функции *AddLocalLinearTrend()*, при этом предполагается, что

$$1) \sigma_\eta^2 \sim IG(\alpha_\eta, \beta_\eta), \quad \sigma_\zeta^2 \sim IG(\alpha_\zeta, \beta_\zeta) \text{ и } \eta_t | \sigma_\eta^2 \sim N(0, \sigma_\eta^2), \quad \zeta_t | \sigma_\zeta^2 \sim N(0, \sigma_\zeta^2).$$

2) Начальные значения уровня и наклона тренда имеют нормальное распределение:

$$\mu_0 \sim N(\mu, \sigma_\mu^2), \quad \beta_0 \sim N(\beta, \sigma_\beta^2).$$

представимого как $\mu_t = \alpha + \beta t$ или $\mu_t = \mu_{t-1} + \beta$

Параметры α_η и β_η можно задать в аргументе *level.sigma.prior* (NULL по умолчанию), α_ζ и β_ζ можно задать в аргументе *slope.sigma.prior* (NULL по умолчанию).

Параметры μ и σ_μ можно задать в аргументе *initial.level.prior* (NULL по умолчанию), β и σ_β можно задать в аргументе *initial.slope.prior* (NULL по умолчанию).

Дефолтные значения аргументов функции *AddLocalLinearTrend()*:

```
# if sdy, initial.y are ignored
sdy <- sd(y, na.rm = TRUE)
initial.y <- y[1]
# if level.sigma.prior = NULL
# default sample.size = .01
level.sigma.prior <- SdPrior(.01 * sdy, upper.limit = sdy)
# if slope.sigma.prior = NULL
slope.sigma.prior <- SdPrior(.01 * sdy, upper.limit = sdy)
# if initial.level.prior = NULL
initial.level.prior <- NormalPrior(initial.y, sdy)
# if initial.slope.prior = NULL
initial.slope.prior <- NormalPrior(0, sdy)
```

Полулокальный линейный тренд

Данная модель похожа на модель локального линейного тренда, однако более эффективна для долгосрочного прогнозирования. В ней предполагается, что уровень тренда изменяется согласно процессу случайного блуждания (как и для локального линейного тренда), но наклон тренда изменяется согласно $AR(1)$ -процессу, центрированному относительно некоторого ненулевого значения D (долгосрочный наклон тренда). таким образом, модель имеет вид:

$$y_t = \mu_t + \varepsilon_t, \quad \varepsilon_t \sim WN(0, \sigma_\varepsilon^2)$$

$$\mu_t = \mu_{t-1} + \delta_{t-1} + \eta_t, \quad \eta_t \sim WN(0, \sigma_\eta^2) \quad (1.6)$$

$$\delta_t = D + \phi(\delta_{t-1} - D) + \zeta_t, \quad \zeta_t \sim WN(0, \sigma_\zeta^2), \quad (1.7)$$

где ϕ — коэффициент при $AR(1)$ -процессе.

Априорное распределение в пакете *BSTS*:

Добавление полулокального линейного тренда производится с помощью функции *AddSemilocalLinearTrend()*, при этом предполагается, что

$$1) \sigma_\eta^2 \sim IG(\alpha_\eta, \beta_\eta), \quad \sigma_\zeta^2 \sim IG(\alpha_\zeta, \beta_\zeta) \text{ и } \eta_t | \sigma_\eta^2 \sim N(0, \sigma_\eta^2), \quad \zeta_t | \sigma_\zeta^2 \sim N(0, \sigma_\zeta^2).$$

2) Начальные значения уровня и наклона тренда имеют нормальное распределение:

$$\mu_0 \sim N(\mu, \sigma_\mu^2), \quad \delta_0 \sim N(\delta, \sigma_\delta^2).$$

3) Долгосрочный наклон тренда D имеет нормальное распределение: $D \sim N(d, \sigma_d^2)$.

```
1 AddLocalLinearTrend <- function (
2   state.specification = NULL,
3   y,
4   level.sigma.prior = NULL,
5   slope.sigma.prior = NULL,
6   initial.level.prior = NULL,
7   initial.slope.prior = NULL,
8   sdy,
9   initial.y)
```

```
1 # aust - export in Australia
2 # make train data
3 training_cut_date <- as.Date(as.character("
4   1993-10-01"), format = "%Y-%m-%d")
5 data_train <- aust[aust$Quarter <= training_cut
6   _date,]
7 yts <- xts(data_train$exports, order.by=data_
8   train$Quarter)
9 # fit BSTS with trend only
10 ss <- AddLocalLinearTrend(list(), yts)
11 model <- bsts(yts, state.specification = ss,
12   niter = 500)
```

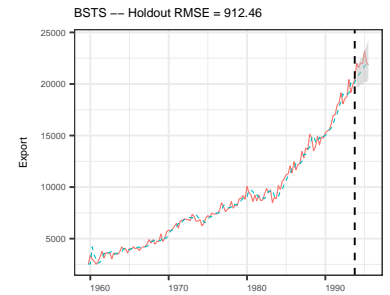


Рис. 2: Example of Local linear trend (1.4), (1.5)

(источник данных)

Параметры α_η и β_η можно задать в аргументе *level.sigma.prior* (NULL по умолчанию), α_ζ и β_ζ можно задать в аргументе *slope.sigma.prior* (NULL по умолчанию).

Параметры μ и σ_μ можно задать в аргументе *initial.level.prior* (NULL по умолчанию), δ и σ_δ можно задать в аргументе *initial.slope.prior* (NULL по умолчанию).

Параметры d и σ_d можно задать в аргументе *slope.mean.prior* (NULL по умолчанию).

- 4) Коэффициент $AR(1)$ - процесса ϕ имеет усечённое нормальное распределение, то есть $\phi \sim N(\phi_0, \sigma_\phi^2)$ на интервале (a, b) . Если априорно ограничить значения ϕ интервалом $(-1, 1)$, то наклон тренда будет демонстрировать краткосрочные стационарные отклонения от долгосрочного наклона D .

Дефолтные значения аргументов функции *AddSemilocalLinearTrend()*:

Значения аргументов, совпадающих с аргументами функции *AddlocalLinearTrend()*, по умолчанию присваиваются такими же, для остальных аргументов:

```
# if sdy, initial.y are ignored
sdy <- sd(y, na.rm = TRUE)
initial.y <- y[1]
# sdy is standard deviation of the time series
# if slope.mean.prior = NULL
slope.mean.prior <- NormalPrior(0, sdy)
# if slope.ar1.prior = NULL
slope.ar1.prior <- Ar1CoefficientPrior(mu = 0, sigma = 1,
force.stationary = TRUE, force.positive = FALSE,
initial.value = mu)
```

Сезонность

Модель детерминированной сезонности предполагает, что сезонные эффекты вместе нивелируют друг друга, то есть в сумме равны нулю. Однако можно позволить сезонным эффектам изменяться во времени, сделав их суммой равной случайному отклонению ω_t с нулевым математическим ожиданием и дисперсией σ_ω^2 . Тогда, если число сезонов равно s ,

$$\sum_{j=0}^{s-1} \gamma_{t-j} = \omega_t \Leftrightarrow \gamma_t = - \sum_{j=1}^{s-1} \gamma_{t-j} + \omega_t \quad (1.8)$$

структурная модель временного ряда представима в виде:

$$y_t = \gamma_t + \varepsilon_t, \quad \varepsilon_t \sim WN(0, \sigma_\varepsilon^2) \quad (1.9)$$

$$\gamma_t = - \sum_{j=1}^{s-1} \gamma_{t-j} + \omega_t, \quad \omega_t \sim WN(0, \sigma_\omega^2)$$

где уравнение (1.9) моделирует временной ряд как сезонную компоненту с некоторой случайной ошибкой ε_t .

Априорное распределение в пакете *BSTS*:

Добавление сезонной компоненты производится с помощью функции *AddSeasonal()*, при этом предполагается, что

- 1) $\sigma_\omega^2 \sim IG(\alpha_\omega, \beta_\omega)$ и $\omega_t | \sigma_\omega^2 \sim N(0, \sigma_\omega^2)$.

Указанные параметры можно задать внутри функции *AddSemilocalLinearTrend()* в аргументе *slope.ar1.prior* (NULL по умолчанию), который является объектом класса *Ar1CoefficientPrior*: при инициализации *slope.ar1.prior* ϕ_0 задаётся через аргумент *mu* ($\mu = 0$ по умолчанию), σ_ϕ задаётся через аргумент *sigma* ($\sigma_\phi = 1$ по умолчанию), ограничение ϕ интервалом $(-1, 1)$ задаётся с помощью *force.stationary* = TRUE (TRUE по умолчанию), а чтобы ϕ принимал только неотрицательные значения, нужно присвоить аргументу *force.positive* значение TRUE (FALSE по умолчанию). Например, для $\phi \in (0, 1)$, $\phi_0 = 0.5$, $\sigma_\phi^2 = 0.01$: *slope.ar1.prior* = *Ar1CoefficientPrior*(*mu* = 0.5, *sigma* = 0.1, *force.positive* = TRUE).

```
1 AddSemilocalLinearTrend <- function (
2   state.specification = list(),
3   y = NULL,
4   level.sigma.prior = NULL,
5   slope.mean.prior = NULL,
6   slope.ar1.prior = NULL,
7   slope.sigma.prior = NULL,
8   initial.level.prior = NULL,
9   initial.slope.prior = NULL,
10  sdy = NULL,
11  initial.y = NULL)
```

```
1 # aust - export in Australia
2 # make train data
3 training_cut_date <- as.Date(as.character("
4   1993-10-01"), format = "%Y-%m-%d")
5 data_train <- aust[aust$Quarter <= training_cut
6   _date,]
7 yts <- xts(data_train$exports, order.by=data_
8   train$Quarter)
9 # fit BSTS with trend only
10 ss <- AddSemilocalLinearTrend(list(), yts)
11 model <- bsts(yts, state.specification = ss,
12   niter = 500)
```

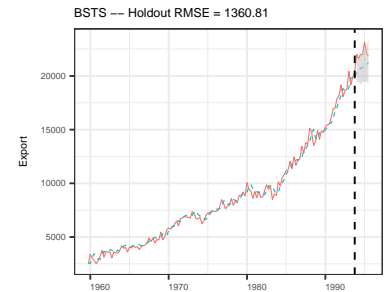


Рис. 3: Example of Semilocal linear trend (1.6), (1.7)

(источник данных)

Моделируемое количество сезонов можно задать в аргументе *nseasons*.

- 2) Начальные значения вектора сезонной компоненты (первые s значений вектора γ_t) имеют нормальное распределение:

$$\gamma_0, \dots, \gamma_{s-1} \sim N(\gamma, \sigma_\gamma^2).$$

Дефолтные значения аргументов функции *AddSeasonal()*:

```
# if number of time periods each season is to last is ignored
season.duration = 1
# if sdy is ignored
sdy <- sd(y, na.rm = TRUE)
# sdy is standard deviation of the time series
# if sigma.prior = NULL
sigma.prior <- SdPrior(.01 * sdy, upper.limit = sdy)
# if initial.state.prior = NULL
initial.state.prior <- NormalPrior(0, sdy)
```

Сезонность также может быть задана через набор тригонометрических функций (а именно комбинаций \sin и \cos) с сезонной частотой (измеряется в радианах) $\lambda_j = \frac{2\pi j}{s}$, $j = 1, \dots, [s/2]$, где $[s/2] = s/2$, если s чётное и $[s/2] = (s-1)/2$, если s нечётное. Тогда сезонный эффект в момент времени t равен:

$$\gamma_t = \sum_{j=1}^{[s/2]} (\gamma_j \cos \lambda_j t + \gamma_j^* \sin \lambda_j t) \quad (1.10)$$

Так же как и в случае линейного тренда, уравнение сезонности (1.10) может быть задано рекурсивно, тогда структурная модель будет выглядеть следующим образом:

$$y_t = \gamma_t + \varepsilon_t, \quad \varepsilon_t \sim WN(0, \sigma_\varepsilon^2)$$

$$\gamma_t = \sum_{j=1}^{[s/2]} \gamma_{j,t}, \quad (1.11)$$

$$\begin{pmatrix} \gamma_{j,t} \\ \gamma_{j,t}^* \end{pmatrix} = \begin{pmatrix} \cos \lambda_j & \sin \lambda_j \\ -\sin \lambda_j & \cos \lambda_j \end{pmatrix} \begin{pmatrix} \gamma_{j,t-1} \\ \gamma_{j,t-1}^* \end{pmatrix} + \begin{pmatrix} \omega_{j,t} \\ \omega_{j,t}^* \end{pmatrix} \quad (1.12)$$

где $\omega_{j,t}$ и $\omega_{j,t}^*$, $j = 1, \dots, [s/2]$ — некоррелированные процессы белого шума с нулевым математическим ожиданием и общей дисперсией σ_ω^2 . Компонента $\gamma_{j,t}^*$ необходима для построения стохастической модели и не имеет важной интерпретации.

Априорное распределение в пакете BSTS:

Добавление тригонометрической сезонной компоненты производится с помощью функции *AddTrig()*, при этом предполагается, что

Параметры α_ω и β_ω можно задать в аргументе *sigma.prior* (NULL по умолчанию).

Параметры γ и σ_γ можно задать в аргументе *initial.state.prior* (NULL по умолчанию).

```
1 AddSeasonal <- function(
2   state.specification,
3   y,
4   nseasons,
5   season.duration = 1,
6   sigma.prior = NULL,
7   initial.state.prior = NULL,
8   sdy)
```

```
1 # lynx - Number of lynx trapped
2 # make train data
3 training_cut_date <- as.Date(as.character("
4   1924-01-01"), format = "%Y-%m-%d")
5 data_train <- lynx[lynx$Year <= training_cut_
6   date,]
7 yts <- xts(data_train$lynx, order.by=data_train
8   $Year)
9 # fit BSTS with local level and seasonal
10 component
11 ss <- AddLocalLevel(list(), yts)
12 ss <- AddSeasonal(ss, yts, nseasons=10)
13 model <- bstf(yts, state.specification = ss,
14   niter = 500)
```

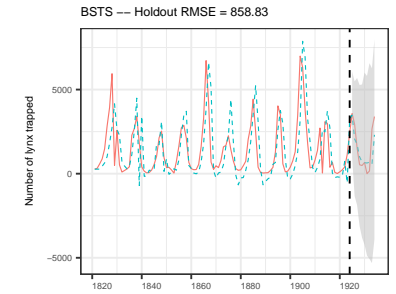


Рис. 4: Example of Seasonal component (1.8), (1.9) with Local level

(источник данных)

Период колебаний, т.е. число периодов времени, необходимое для повторения наибольшего цикла, задаётся в переменной *period* (например, для годового цикла *period* = 12). Частоты колебаний λ_j , т.е. число повторений каждой циклической компоненты в течение периода, задаётся в параметре *frequencies* в виде вектора положительных чисел.

```
1 AddTrig <- function(
2   state.specification = NULL,
3   y,
4   period,
5   frequencies,
6   sigma.prior = NULL,
7   initial.state.prior = NULL,
8   sdy)
```

Параметры α_{γ_j} и β_{γ_j} можно задать в аргументе *sigma.prior* (NULL по умолчанию).

- 1) $\sigma_{\gamma_j}^2 \sim IG(\alpha_{\gamma_j}, \beta_{\gamma_j})$ и $\gamma_j^* | \sigma_{\gamma_j}^2 \sim N(0, \sigma_{\gamma_j}^2)$.
- 2) Начальные значения вектора коэффициентов γ_j^* (первые $\lfloor s/2 \rfloor$ значений вектора γ_j^*) имеют многомерное нормальное распределение:

$$\gamma_0^*, \dots, \gamma_{\lfloor s/2 \rfloor}^* \sim MN(\gamma, \Sigma_\gamma).$$

Дефолтные значения аргументов функции *AddTrig()*:

```
# if sdy is ignored
sdy <- sd(y, na.rm = TRUE)
# if sigma.prior = NULL
sigma.prior <- SdPrior(.01 * sdy, upper.limit = sdy)
# if initial.state.prior = NULL
dimension <- 2 * length(frequencies)
initial.state.prior <- MvnPrior(
  mean = rep(0, dimension),
  variance = diag(rep(sdy, dimension)^2))
```

Авторегрессионная компонента

Добавление авторегрессионной составляющей аналогично рассмотрению $AR(p)$ -процесса:

$$y_t = \sum_{i=1}^p \alpha_i y_{t-i} + \varepsilon_t, \quad \varepsilon_t \sim WN(0, \sigma_\varepsilon^2)$$

в котором текущее значение временного ряда линейно зависит от p предыдущих значений (лагов) этого ряда.

Априорное распределение в пакете BSTS:

Добавление авторегрессионной компоненты производится с помощью функции *AddAr()*, при этом предполагается, что

- 1) $\sigma_\varepsilon^2 \sim IG(\alpha_\varepsilon, \beta_\varepsilon)$ и $\varepsilon_t | \sigma_\varepsilon^2 \sim N(0, \sigma_\varepsilon^2)$.
- 2) Вектор начальных значений временного ряда (первые p значений вектора y_t) имеет многомерное нормальное распределение: $(y_0, \dots, y_{p-1})^T \sim MN(\mu, \Sigma)$.

Дефолтные значения аргументов функции *AddAr()*:

```
# if number of lags is ignored
lags = 1
# if sdy is ignored
sdy <- sd(y, na.rm = TRUE)
# sdy is standard deviation of the time series
# if sigma.prior = NULL
```

Параметры γ и Σ_γ можно задать в аргументе *initial.state.prior* (NULL по умолчанию).

```
1 # mean temperature, Fisher River
2 data_train <- temp[temp$Date <= training_cut_
3   date,]
4 yts <- xts(data_train$temp, order.by=data_train
5   $Date)
6 # fit BSTS with trig only
7 ss <- AddTrig(list(), yts, period=730,
8   frequencies = 1)
9 model <- bsts(yts, state.specification = ss,
10   niter = 500)
11 # BSTS predictions
12 pred <- predict(model, horizon = 365, burn =
13   burn, quantiles = c(.025, .975))
14 # actual vs fitted data, abs values
15 d2 <- data.frame(abs(c(...))...)
```

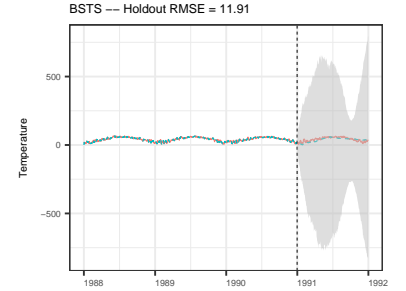


Рис. 5: Example of Trigonometric Seasonal component (1.11), (1.12)

(источник данных)

На графиках 4 и 5 видны существенные отклонения прогнозов от истинных значений, широкие предиктивные интервалы. Из-за особенностей построения тригонометрического тренда (как суммы \sin и \cos) для примера на графике 5 нужно увеличить период колебаний в 2 раза и использовать прогнозы, взятые по модулю. В данном примере использовать BSTS сложнее, чем Prophet (будет показано далее), необходимо дополнительно учитывать особенность формулы для моделирования сезонности временного ряда.

Моделируемое количество лагов p можно задать в аргументе *lags*.

Параметры α_ε и β_ε можно задать в аргументе *sigma.prior* (NULL по умолчанию).

Параметры μ (математическое ожидание) и Σ (ковариационная матрица) можно задать внутри функции *AddAr()* в аргументе *initial.state.prior* (NULL по умолчанию), который является объектом класса *MvnPrior*: при инициализации *initial.state.prior* μ задается через аргумент *mean*, Σ задается через аргумент *variance*.

Например, для $AR(2)$ -процесса и

$$\mu = \begin{pmatrix} 1 \\ 2 \end{pmatrix}, \quad \Sigma = \begin{pmatrix} 1 & 1 \\ 1 & 9 \end{pmatrix}$$

initial.state.prior = *MvnPrior*(*mean*=c(1,2), *variance*=matrix(c(1, 1, 1, 9), nrow=2, ncol=2)).

```
sigma.prior <- SdPrior(.01 * sdy)
# if initial.state.prior = NULL
# the stationary distribution of the AR(p) process
# will be used as the initial state distribution.
```

Праздники

Праздники также оказывают значительное влияние на динамику временных рядов (например, продажи, потребление, цены). Праздничные дни зачастую не являются строго периодическими, что создаёт проблему для их моделирования с помощью сезонной компоненты (например, День благодарения в США отмечается в четвертый четверг ноября, поэтому дата этого праздника не будет одинаковой для каждого года). Поскольку влияние конкретного праздника на динамику временных рядов часто бывает одинаковым из года в год, включение этой компоненты является важным для построения качественных прогнозов.

Пакет BSTS также позволяет добавлять модель случайного блуждания для праздничных дней к структурной модели. Получившаяся модель предполагает, что каждый рабочий день между праздниками смещается в календаре относительно своей даты в прошлом году в соответствии со случайным блужданием.

Априорное распределение в пакете BSTS:

Добавление эффекта праздников может производиться разными функциями в зависимости от данных, например, с помощью функции `AddNamedHolidays()`, при этом предполагается, что

- 1) Стандартное отклонение приращений процесса случайного блуждания имеет обратное Гамма-распределение: $\sigma^2 \sim IG(\alpha, \beta)$.
- 2) Начальные значения компоненты праздников (количество которых равно указанному количеству праздников в году) имеют нормальное распределение.

Дефолтные значения аргументов функции `AddNamedHolidays()`:

```
# NamedHolidays() returns a vector with full names of holidays
# if list of named holidays is ignored
named.holidays <- NamedHolidays()
# if sdy is ignored
sdy <- sd(y, na.rm = TRUE)
# if sigma.prior = NULL
sigma.prior <- SdPrior(.01 * sdy, upper.limit = sdy)
# if initial.state.prior = NULL
NormalPrior(0, sdy)
# time0 can be ignored if y is a zoo or xts object
```

```
1 AddAr <- function(
2   state.specification,
3   y,
4   lags = 1,
5   sigma.prior = NULL,
6   initial.state.prior = NULL,
7   sdy)
```

```
1 residual.sd <- .001
2 # Actual values of the AR coefficients
3 true.phi <- c(-.7, .3, .15)
4 ar <- arima.sim(model = list(ar = true.phi),
5   n = 100, sd = 3)
6 # Layer some noise on top of the AR process.
7 y <- ar + rnorm(n, 0, residual.sd)
8 ss <- AddAr(list(), lags = 3, sigma.prior =
9   SdPrior(3.0, 1.0))
10 # Fit the model with knowledge with residual.sd
11 # essentially fixed at the true value.
12 model <- bst(y, state.specification=ss, niter
13   = 500,
14   prior = SdPrior(residual.sd,
15     100000))
```

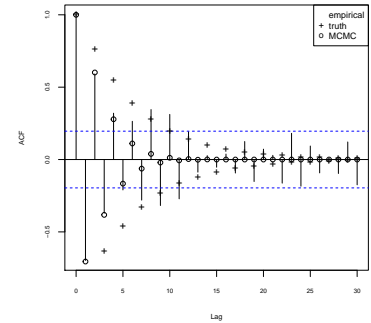


Рис. 6: Example of AR-component (L.Scott)

Параметры α и β можно задать в аргументе `sigma.prior` (NULL по умолчанию).

Параметры которого можно задать в аргументе `initial.state.prior` (NULL по умолчанию).

```
1 AddNamedHolidays <- function(
2   state.specification = NULL,
3   named.holidays = NamedHolidays(),
4   y, sigma.prior = NULL,
5   initial.state.prior = NULL,
6   sdy = sd(as.numeric(y)),
7   na.rm = TRUE, time0 = NULL,
8   days.before = 1,
9   days.after = 1)
```



```
# then time0 is time of the first observation
time0 <- .SetTimeZero(time0, y)
# days.before is the number of days the influence of the named
# holidays extends prior to the actual holiday. If ignored
days.before <- 1
# days.after is the number of days the influence of the named
# holidays extends after the actual holiday. If ignored
days.after <- 1
```

Комбинации

В зависимости от задачи в модель (1.1) можно включать любые комбинации описанных выше компонент, задавая спецификацию временного ряда. Например, объединив (1.3) и (1.8) (или (1.3) и (1.11)), получим модель *локального уровня и сезонности*:

$$y_t = \mu_t + \gamma_t + \varepsilon_t, \quad \varepsilon_t \sim WN(0, \sigma_\varepsilon^2), \quad (1.13)$$

с μ_t из (1.3) и γ_t из (1.8) или (1.11)

Из этой модели легко получить *модель локального линейного тренда и сезонности*, взяв μ_t из (1.4):

$$y_t = \mu_t + \gamma_t + \varepsilon_t, \quad \varepsilon_t \sim WN(0, \sigma_\varepsilon^2), \quad (1.14)$$

с μ_t из (1.4) и γ_t из (1.8) или (1.11)

Если же взять μ_t из (1.6), можно получить *модель полулокального линейного тренда и сезонности*:

$$y_t = \mu_t + \gamma_t + \varepsilon_t, \quad \varepsilon_t \sim WN(0, \sigma_\varepsilon^2), \quad (1.15)$$

с μ_t из (1.6) и γ_t из (1.8) или (1.11)

Аналогично в (1.1) можно добавить авторегрессионную компоненту или эффект праздников в зависимости от предполагаемой структуры временного ряда (и получив, например, *модель локального линейного тренда, сезонности и праздников*).

Пакет Prophet и модели структурных временных рядов

Пакет Prophet⁴ создан для работы с моделями байесовских структурных временных рядов.⁵ В своей модели авторы предполагают, что временной ряд представим в виде суммы трёх компонент: тренда, сезонности и праздников, динамика которых может меняться со временем. Данная спецификация временного ряда идейно очень схожа с пакетом BSTS в том плане, что: 1) исходный ряд представляется в виде суммы ненаблюдаемых объясняющих компонент и 2) можно задавать априорное распределение для используемых компонент и параметров. Однако существенной особенностью модели Prophet

Для этого в спецификацию модели нужно последовательно добавить локальный уровень и сезонность:

```
1 data(AirPassengers)
2 y <- log(AirPassengers)
3 ss <- AddLocalLevel(list(), y)
4 ss <- AddSeasonal(ss, y, nseasons = 12)
5 # Fitting the model
6 model <- bsts(y, state.specification = ss,
               niter = 500)
```

Для этого в спецификацию модели нужно последовательно добавить локальный линейный тренд и сезонность:

```
1 data(AirPassengers)
2 y <- log(AirPassengers)
3 ss <- AddLocalLinearTrend(list(), y)
4 ss <- AddSeasonal(ss, y, nseasons = 12)
5 # Fitting the model
6 model <- bsts(y, state.specification = ss,
               niter = 500)
```

Для этого в спецификацию модели нужно последовательно добавить полулокальный линейный тренд и сезонность:

```
1 data(AirPassengers)
2 y <- log(AirPassengers)
3 ss <- AddSemilocalLinearTrend(list(), y)
4 ss <- AddSeasonal(ss, y, nseasons = 12)
5 # Fitting the model
6 model <- bsts(y, state.specification = ss,
               niter = 500)
```

⁴ Авторы: Sean Taylor, Ben Letham, Facebook

⁵ A. Harvey and S. Peters. *Estimation procedures for structural time series models*. Journal of Forecasting, 9:89–108, 1990.

является довольно сложная компонента, отвечающая за тренд, которая (в отличие от локального и полулокального тренда в BSTS) позволяет задавать количество и моменты изменений тренда, а также допускает возможность скачков.

Базовая модель структурных временных рядов имеет вид:⁶

$$y(t) = g(t) + s(t) + h(t) + \varepsilon_t, \quad (2.1)$$

где $g(t)$ является функцией тренда, которая моделирует непериодические изменения в значениях временного ряда, $s(t)$ отражает сезонные изменения, $h(t)$ моделирует эффекты праздников (которые могут происходить нерегулярно и длиться более одного дня), ε_t является случайной ошибкой и имеет нормальное распределение.

Модель (2.1) схожа с обобщёнными аддитивными моделями (GAM)⁷ в том смысле, что представляет собой регрессию, в которой к объясняющим переменным могут быть применены нелинейные сглаживающие функции. В модели (2.1) используется время в качестве единственного регрессора, к которому может быть применено сразу несколько нелинейных функций. В итоге, по аналогии с (1.1), временной ряд раскладывается на сумму нескольких компонент, которые могут быть явно извлечены и проанализированы, однако задача прогнозирования сводится к нахождению наиболее похожей на $y(t)$ кривой, зависящей от t .

Стоит отметить, что теоретическая модель для пакета Prophet изначально была разработана для прогнозирования различных показателей социальной сети Facebook (например, числа пользователей), что отражается в специфичном моделировании отдельных компонент (2.1). Однако получившаяся модель показывает хорошие результаты в работе с другими показателями делового сектора и может быть использована для решения более общих задач прогнозирования.

Тренд

Для построения тренда (в первоначальной задаче - роста числа пользователей Facebook) используется модель, схожая моделью роста населения, где происходит нелинейный рост, ограниченный сверху естественными условиями (например, число пользователей Facebook ограничено числом людей, имеющим доступ к Интернету). Тренд в (2.1) задаётся формулой:

$$g(t) = \frac{C(t)}{1 + e^{-k(t-b)}}, \quad (2.2)$$

где $C(t)$ — ограничение сверху, k — темп роста, b — параметр смещения.

$C(t)$ в формуле (2.2) — естественное ограничение среды, меняющееся со временем, которое также является максимально возможным значением функции $g(t)$. Наиболее простыми видами $C(t)$ являются постоянное ограничение ($C(t) = K$) и линейное ограничение ($C(t) = Mt + K$), хотя спецификация зависит от конкретной задачи и знаний области.

⁶ Sean J. Taylor and Benjamin Letham. *Forecasting at Scale*. Facebook research blog, 2017.

⁷ Hastie, T. J.; Tibshirani, R. J. (1990). *Generalized Additive Models*. Chapman & Hall/CRC.

Необходимо также учесть, что темп роста k может меняться со временем — для этого в модель явным образом введём S моментов времени s_j , $j = 1, \dots, S$, в которых k позволено меняться (заметим, что при введении дискретного числа точек, в которых может изменяться параметр k , мы получим кусочно-заданную функцию тренда). Определим вектор $\delta \in R^S$, где δ_j — это изменение темпа роста, произошедшее в момент времени s_j . Тогда темп роста в любой момент времени t можно определить как сумму $k + \sum_{j:t \geq s_j} \delta_j$ или $k + a(t)^T \delta$, где $a(t) \in \{0, 1\}^S$ и

$$a_j(t) = \begin{cases} 1, & t \geq s_j \\ 0, & t < s_j \end{cases}$$

При изменении темпа роста k необходимо также пересчитывать значение b для предотвращения разрывов в функции тренда. Величина корректировки в момент времени s_j рассчитывается по формуле:

$$\gamma_j = \left(s_j - b - \sum_{l < j} \gamma_l \right) \left(1 - \frac{k + \sum_{l < j} \delta_l}{k + \sum_{l \leq j} \delta_l} \right)$$

Таким образом, нелинейная кусочно-заданная функция тренда имеет вид:

$$g(t) = \frac{C(t)}{1 + e^{-(k + a(t)^T \delta)(t - (b + a(t)^T \gamma))}} \quad (2.3)$$

На графиках 7 и 8 видно, что в зависимости от спецификации $C(t)$ и распределения δ меняются поведение тренда (2.3) и ширина предиктивных интервалов.

Часто в целях создания более экономной модели можно использовать кусочно-постоянную функцию для изменения темпа роста k . В этом случае тренд будет иметь вид:

$$g(t) = (k + a(t)^T \delta)t + (b + a(t)^T \gamma), \quad (2.4)$$

где как и раньше k означает темп роста, δ — изменение темпа роста, b — параметр смещения, γ необходимо для непрерывности функции тренда.

Сезонность

Для аппроксимации сезонной компоненты как набора периодических функций от времени t авторы предлагают использовать ряды Фурье: пусть P — это ожидаемый период временного ряда (например, $P = 7$ для еженедельных данных, $P = 30$ для ежемесячных данных), $2N$ — количество используемых членов ряда Фурье (выбор большего N позволит приблизить более сложные периодические функции, однако может привести к переобучению). Тогда аппроксимация сезонности будет выглядеть следующим образом:

$$s(t) = \sum_{n=-N}^N c_n e^{i \frac{2\pi n t}{P}} \quad (2.5)$$

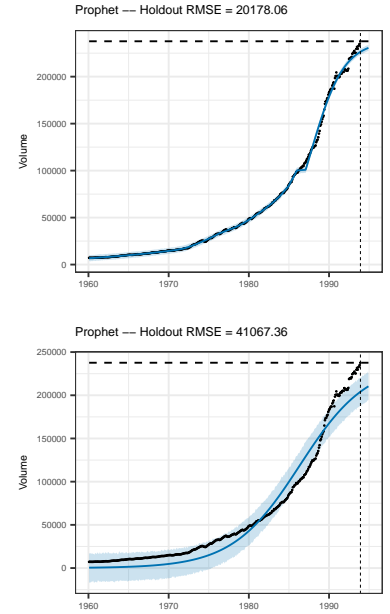


Рис. 7: Trend (2.3) with $C(t) = K$, $\delta \sim \text{DExp}(0, 5)$ and $\delta \sim \text{DExp}(0, 0.02)$.

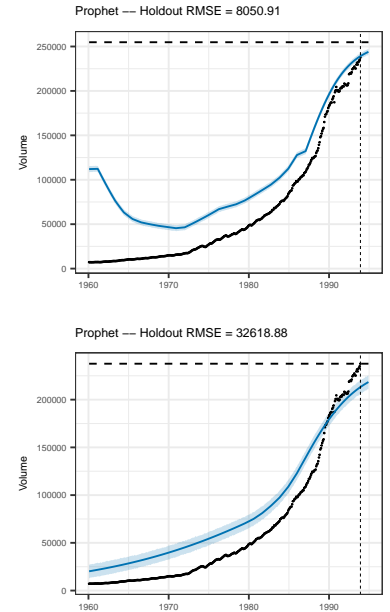


Рис. 8: Trend (2.3) with $C(t) = Mt + K$, $\delta \sim \text{DExp}(0, 5)$ and $\delta \sim \text{DExp}(0, 0.02)$.

(источник данных)

На основе (2.1) можно построить вектор сезонов для каждого значения t , например, для недельной сезонности ($P = 7$) и $N = 3$ получим

$$X(t) = \left(e^{i \frac{2\pi(-3)t}{7}}, \dots, e^{i \frac{2\pi(3)t}{7}} \right)$$

Для добавления сезонной компоненты в модель (2.1) также потребуется оценить параметры c_n , $n = -N, \dots, N$, которые можно объединить в один вектор β . Тогда выражение (2.5) можно переписать в виде произведения вектора сезонов на вектор неизвестных параметров:

$$s(t) = X(t)\beta, \quad (2.6)$$

задав при этом априорное распределение вектора β (например, $\beta \sim N(0, \sigma^2)$).

На графике 9 изображены результаты применения (2.6) на данных с выраженной годовой сезонностью ($P = 365.25$ из-за годовой периодичности данных, $2N = 20$ — количество используемых членов ряда Фурье для аппроксимации, $\beta \sim N(0, 10^2)$ — априорное распределение параметров c_n).

Праздники

Пакет Prophet также даёт возможность добавлять эффект праздников во временной ряд, позволяя исследователю включать конкретные прошлые или будущие события в анализ. Важно учитывать не только международные праздники (например, Рождество), но и характерные для рассматриваемой страны события (например, День благодарения в США).

Эффекты праздников предполагаются независимыми, что позволяет легко включить их рассмотрение в модель (2.1). Для каждого праздника i , $i = 1, \dots, L$ определим D_i как множество прошлых и будущих календарных дат этого праздника. Тогда можно задать функцию индикатора $I(t \in D_i)$, показывающую, попал ли момент времени t на праздник i , и присвоить каждому празднику i оказываемый эффект на прогноз k_i . Получим суммарный эффект праздников на момент t :

$$h(t) = \sum_{i=1}^L k_i I(t \in D_i) \quad (2.7)$$

Выражение (2.7) можно обобщить, добавив в него эффект от нескольких дней вблизи конкретного праздника (это связано с тем, что люди ведут себя по-разному до наступления праздника и после его окончания). Для того чтобы учесть этот факт, в уравнение (2.7) могут быть добавлены дополнительные эффекты (подобно k_i) для дней, окружающих праздник (например, три дня до D_i и два дня после D_i для праздника i).

Подобно сезонности, выражение (2.7) можно переписать в матричном виде:

$$h(t) = Z(t)k, \quad (2.8)$$

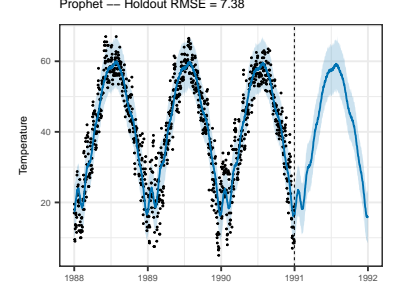


Рис. 9: Seasonality (2.6) with $N = 10$ and $P = 365.25$, $\beta \sim N(0, 10^2)$

(источник данных)

где $Z(t)$ — вектор индикаторов праздника для каждого значения t :

$$Z(t) = (I(t \in D_1), \dots, I(t \in D_L)),$$

$k = (k_1, \dots, k_L)^T$ — вектор оказываемых эффектов, для которого можно задать априорное распределение (например, $k \sim N(0, \nu^2)$).

Реализация в пакете Prophet

Пакет Prophet реализован на двух языках программирования: R и Python. Для обучения моделей и построения прогнозов Prophet использует библиотеку Stan языка программирования C++, которая автоматически вызывается при наборе команд из пакета Prophet. Как и в BSTS, пользователю достаточно работать с готовыми функциями пакета, подавая в качестве аргументов данные и необходимые параметры теоретических моделей. Отличием от BSTS является то, что для задания всех компонент временного ряда используется одна функция *prophet()*, в аргументах которой можно указать вид компоненты и необходимые для её спецификации параметры.

Так, аргументы функции *prophet()* для моделирования тренда имеют вид:

- 1) *df* — исследуемый временной ряд, который обязан содержать наблюдения y и время наблюдения ds . Если функция тренда нелинейная, то *df* должен содержать ограничения сверху *cap* ($C(t)$ в модели) в каждый момент времени ds . В Stan из аргумента *df* подаётся количество наблюдений *int* T , время наблюдений *vector*[T] t , ограничения сверху *vector*[T] *cap*, временной ряд *vector*[T] y .
- 2) *growth* — функция тренда, может принимать два значения: “*linear*” (по умолчанию) задаёт линейную функцию тренда вида (2.4), “*logistic*” задаёт нелинейную (логистическую) функцию тренда вида (2.3). Указание значения аргумента *growth* отобразится на выборе одной из двух моделей тренда в Stan, в которую затем будут подаваться параметры для тренда, сезонности и праздников.
- 3) *changepoints* — вектор из моментов времени s_j , $j = 1, \dots, S$, в которых может изменяться темп роста тренда. По умолчанию *changepoints* = NULL и вектор подбирается автоматически. В Stan данная переменная подаётся как *real* $t_change[S]$.
- 4) *n.changepoints* — количество моментов времени S , в которых может изменяться темп роста тренда. Если указан аргумент *changepoints*, то *n.changepoints* автоматически определяется как длина указанного вектора. Если аргумент *changepoints* не указан, то *n.changepoints* подбирается автоматически из первых 80% наблюдений *df*. По умолчанию *n.changepoints* = 25. В Stan данная переменная подаётся как *int* S .

Функция *prophet()* со значением аргументов по умолчанию:

```
1 prophet(df = df, growth = "linear",
2 changepoints = NULL, n.changepoints = 25,
3 yearly.seasonality = "auto",
4 weekly.seasonality = "auto",
5 holidays = NULL,
6 seasonality.prior.scale = 10,
7 holidays.prior.scale = 10,
8 changepoint.prior.scale = 0.05,
9 mcmc.samples = 0, interval.width = 0.8,
10 uncertainty.samples = 1000, fit = TRUE, ...)
```

Входные данные модели линейного тренда в Stan:

```
1 data {
2   int T;                # Sample size
3   int<lower=1> K;        # Number of seasonal
4                           # vectors
5   vector[T] t;          # Day
6   vector[T] y;          # Time-series
7   int S;                # Number of changepoints
8   matrix[T, S] A;       # Split indicators
9   real t_change[S];     # Index of changepoints
10  matrix[T, K] X;       # season vectors
11  real<lower=0> sigma;   # scale on seasonality
12                        # prior
13  real<lower=0> tau;     # scale on changepoints
14                        # prior
15 }
```

Входные данные модели нелинейного тренда в Stan:

```
1 data {
2   int T;                # Sample size
3   int<lower=1> K;        # Number of seasonal
4                           # vectors
5   vector[T] t;          # Day
6   vector[T] cap;        # Capacities
7   vector[T] y;          # Time-series
8   int S;                # Number of changepoints
9   matrix[T, S] A;       # Split indicators
10  real t_change[S];     # Index of changepoints
11  matrix[T, K] X;       # season vectors
12  real<lower=0> sigma;   # scale on seasonality
13                        # prior
14  real<lower=0> tau;     # scale on changepoints
15                        # prior
16 }
```

Априорные распределения параметров в Stan:

```
1 model {
2   # priors
3   k ~ normal(0, 5);
4   m ~ normal(0, 5);
5   delta ~ double_exponential(0, tau);
6   sigma_obs ~ normal(0, 0.5);
7   beta ~ normal(0, sigma);
8
9   # Non-linear Likelihood
10  y ~ normal(cap ./ (1 + exp(-(k + A * delta) *
11    (t - (m + A * gamma)))) + X * beta,
12    sigma_obs)
13
14  # Linear Likelihood
15  y ~ normal((k + A * delta) .* t + (m + A *
16    gamma) + X * beta, sigma_obs)
17 }
```

- 5) *changepoint.prior.scale* — числовой параметр (τ), контролирующий автоматический подбор *changepoints*: чем больше значение параметра, тем больше гибкости в подборе роста тренда в *changepoints*. В Stan данная переменная подаётся как *real<lower=0> tau*, от которой зависит распределение вектора δ (вектор изменений темпа роста тренда): $\delta \sim DExp(0, \tau)$, где $DExp(0, \tau)$ — двойное экспоненциальное распределение (распределение Лапласа). По умолчанию *changepoint.prior.scale* = 0.05.

Аргументы функции *prophet()* для моделирования сезонности имеют вид:

- 6) *yearly.seasonality* — аргумент, с помощью которого задаётся наличие годовой сезонности временного ряда. Принимает три возможных значения: TRUE — сезонность есть, FALSE — сезонности нет или 'auto' — функция сама определяет наличие сезонности (при количестве наблюдений не меньше 730 функция будет строить сезонность). Параметры $2N$ (количество членов ряда Фурье) и P (период) задаются авторами библиотеки константами: $N = 10$, $P = 365.25$ соответственно. По умолчанию *yearly.seasonality* = 'auto'.

Константы N и P определены в функции *make_all_seasonality_features()*.

- 7) *weekly.seasonality* — аргумент, с помощью которого задаётся наличие недельной сезонности временного ряда. Принимает три возможных значения: TRUE — сезонность есть, FALSE — сезонности нет или 'auto' — функция сама определяет наличие сезонности (при количестве наблюдений не меньше 14 функция будет строить сезонность). Параметры $2N$ (количество членов ряда Фурье) и P (период) задаются авторами библиотеки константами: $N = 3$, $P = 7$ соответственно. По умолчанию *weekly.seasonality* = 'auto'.

Константы N и P определены в функции *make_all_seasonality_features()*.

- 8) *seasonality.prior.scale* — аргумент, с помощью которого задаётся априорное значение стандартного отклонения σ вектора β ($\beta \sim N(0, \sigma^2)$). В Stan данная переменная подаётся как *real<lower=0> sigma* и используется в априорном распределении $beta \sim normal(0, sigma)$. По умолчанию *seasonality.prior.scale* = 10.

Аргументы функции *prophet()* для моделирования праздников имеют вид:

- 9) *holidays* — аргумент, с помощью которого задаётся праздничная компонента временного ряда. Представляет собой таблицу, столбцы которой содержат названия праздников и их даты, а также дополнительно могут содержать количество дней до (*lower_window*) и после (*upper_window*) указанной даты, которые должны быть включены в праздник (например, *lower_window* = -2 включит 2 дня в праздник до указанной даты праздника). По умолчанию *holidays* = NULL, функция *make_all_seasonality_features* сама подбирает праздники под указанные даты временного ряда.

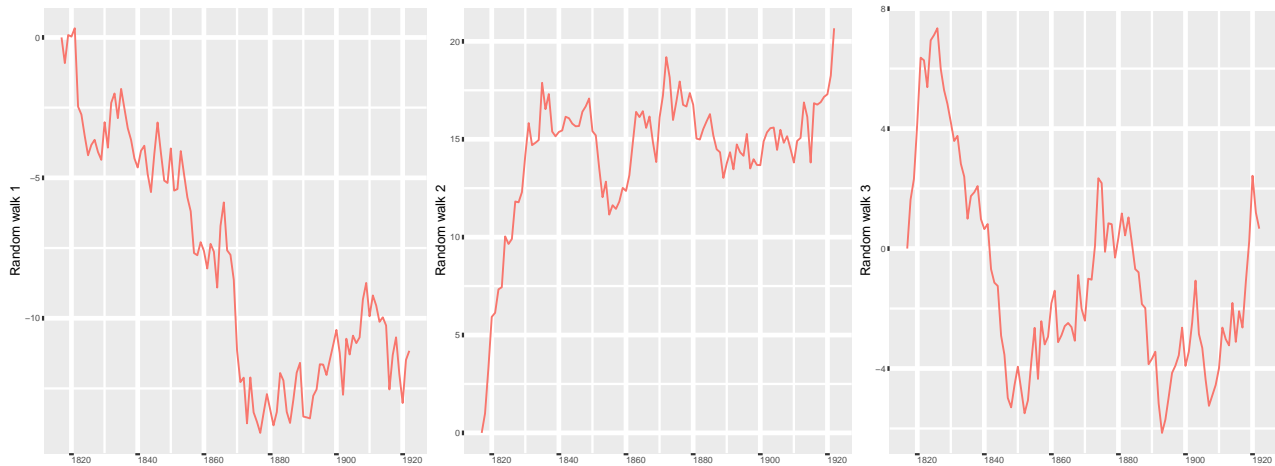
10) *holidays.prior.scale* — аргумент, с помощью которого задаётся априорное значение стандартного отклонения ν вектора эффектов праздников k ($k \sim N(0, \nu^2)$). В модель Stan данный аргумент напрямую не подаётся, а используется в функции *make_holiday_features()* при определении соотношения между стандартными отклонениями сезонной и праздничной компонент *scale.ratio*: чем меньше это соотношение, тем ближе к нулю будут эффекты праздников в сравнении с сезонными эффектами. По умолчанию *holidays.prior.scale* = 10.

$$scale.ratio = \frac{holidays.prior.scale}{seasonality.prior.scale}$$

Результаты

Локальный уровень

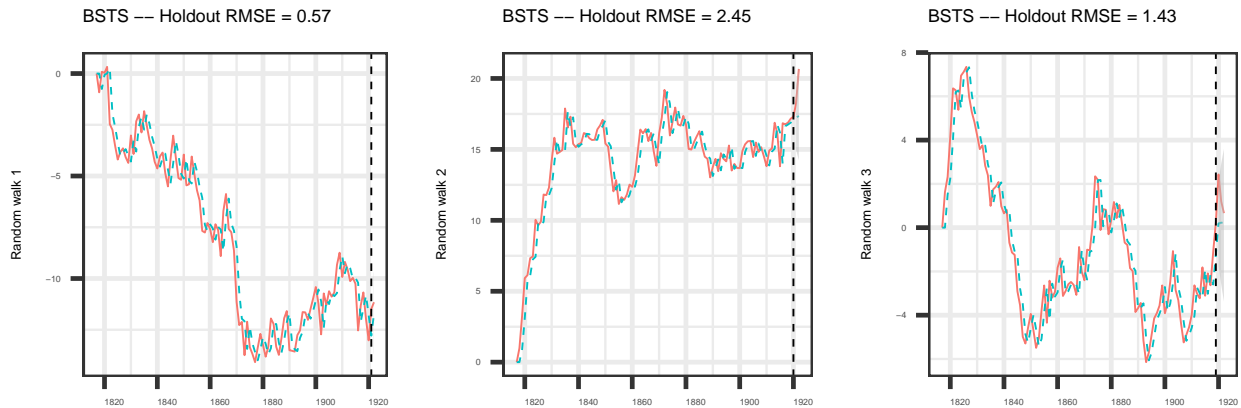
Рассмотрим пример работы BSTS на примерах сгенерированных данных случайного блуждания. Изобразим временные ряды:



Обучим модель BSTS и сделаем прогнозы на 1, 2 и 3 шага вперёд. Для этого зададим спецификацию модели как локальный уровень:

```
# fit BSTS with local level
ss <- AddLocalLevel(list(), yts)
```

Изобразим прогнозные значения: из графиков и значений *RMSE* видно, что с увеличением горизонта прогнозирования ошибка стремительно растёт. Это связано с непредсказуемостью поведения случайного блуждания, что отражается в широких предиктивных интервалах, изображённых на графиках.



Локальный линейный тренд

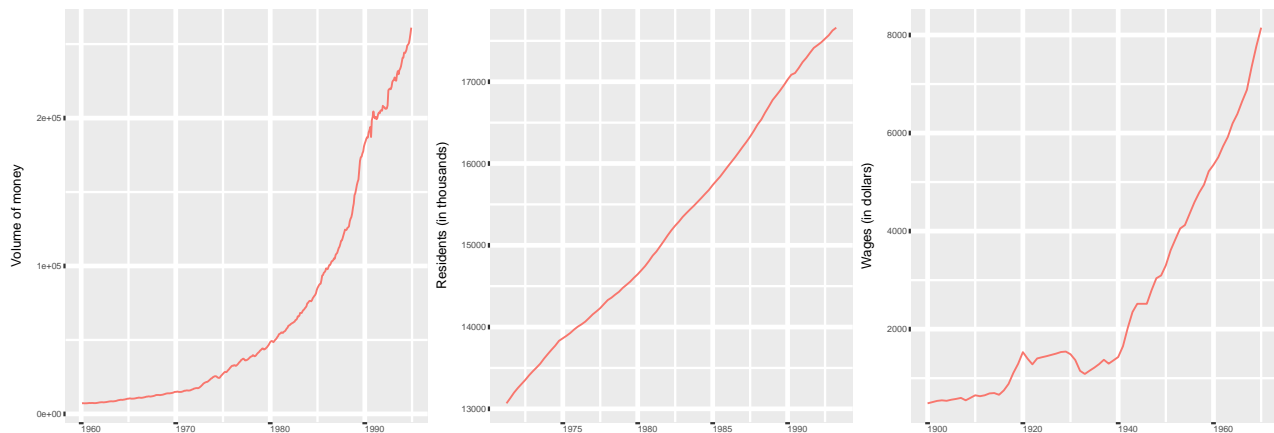
Рассмотрим пример работы BSTS и Prophet на месячных данных объема денежной массы в Австралии с февраля 1960 по декабрь 1994 года⁸, на годовых данных средней зарплаты в США с 1900 по 1970 год⁹ и на квартальных данных о численности жителей Австралии с марта 1971 по март 1993 года¹⁰. Представленные ряды обладают линейным трендом, который мы явно укажем при спецификации обеих моделей.

Изобразим временные ряды:

⁸ источник данных

⁹ источник данных

¹⁰ встроенный набор данных в R

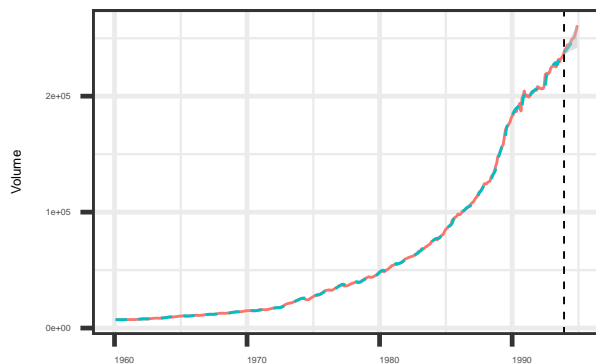


Обучим модели BSTS и Prophet и сделаем прогнозы на несколько месяцев (лет) вперёд. Для этого зададим линейный тренд:

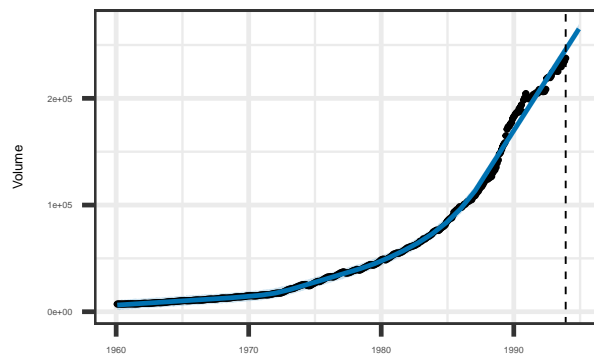
```
# fit BSTS with trend only
ss <- AddLocalLinearTrend(list(), yts)

# fit Prophet with trend only
m <- prophet(yts_df, growth='linear', yearly.seasonality=FALSE, weekly.seasonality=FALSE)
```

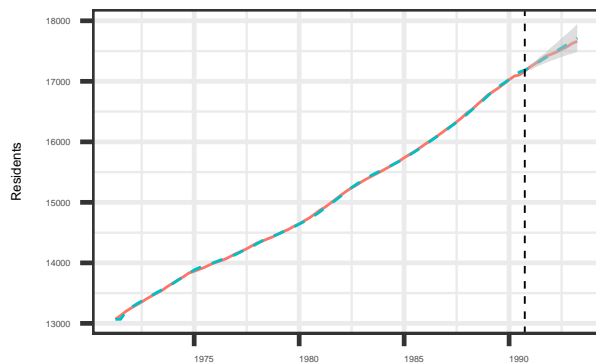

BSTS --- Holdout RMSE = 3617.43



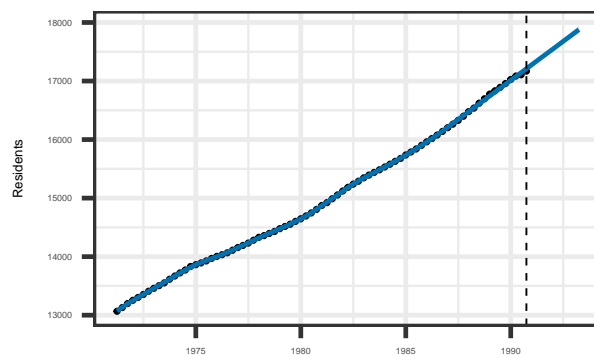
Prophet --- Holdout MAPE = 7938.25



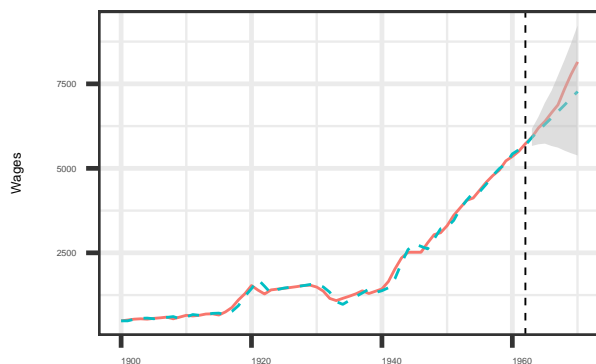
BSTS --- Holdout RMSE = 26.94



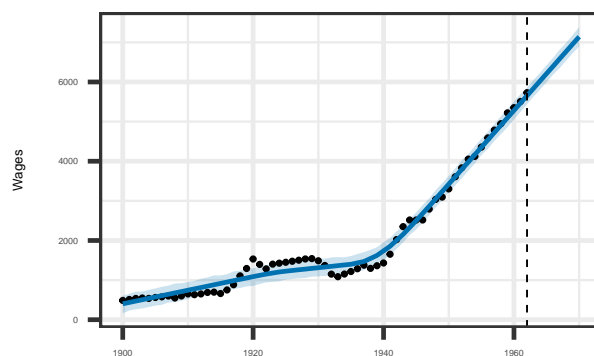
Prophet --- Holdout RMSE = 131.33



BSTS --- Holdout RMSE = 441.99



Prophet --- Holdout RMSE = 528.82

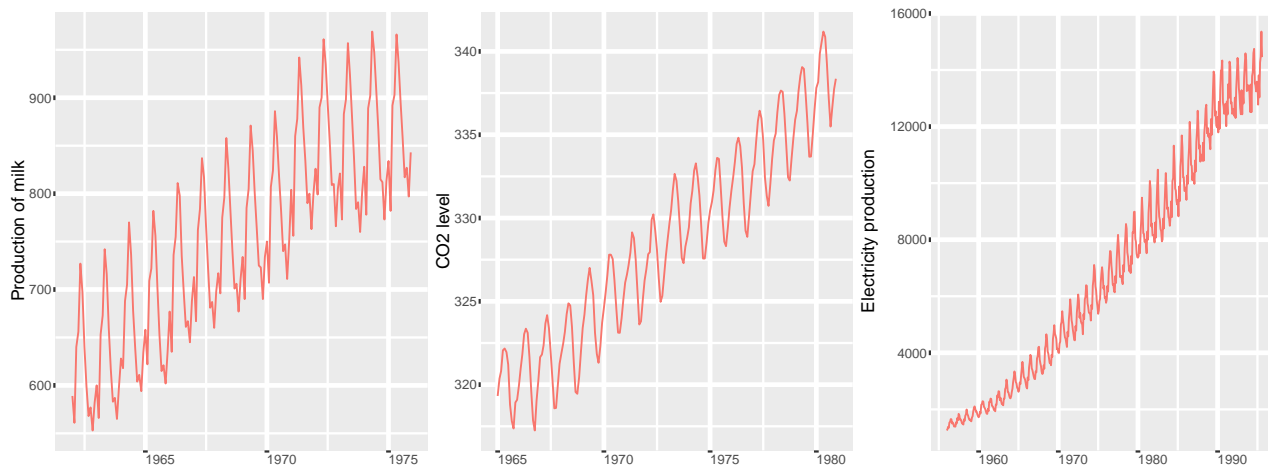


Из полученных прогнозов и значений $RMSE$ видно, что оба алгоритма показали хорошее качество работы с трендом, при этом модель локального линейного тренда BSTS обладает меньшим значением ошибки прогнозов, чем модель линейного тренда Prophet, лучше настраиваясь на данные.

Локальный линейный тренд и сезонность

Рассмотрим пример работы BSTS и Prophet на месячных данных объёма производства молока (в фунтах на корову) с января 1962 по декабрь 1975 года¹¹, на месячных данных уровня углекислого газа у вулкана Мауна-Лоа с января 1965 по декабрь 1980 года¹², на месячных данных производства электричества в Австралии с января 1956 по август 1995 года¹³. Представленные ряды обладают сезонностью и линейным трендом, который мы явно укажем при спецификации обеих моделей.

Изобразим временные ряды:



¹¹ источник данных

¹² источник данных

¹³ источник данных

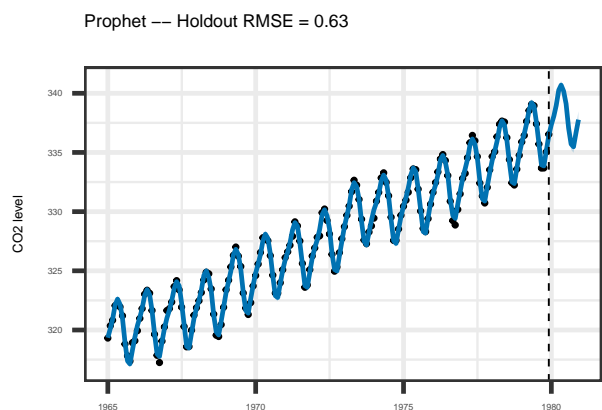
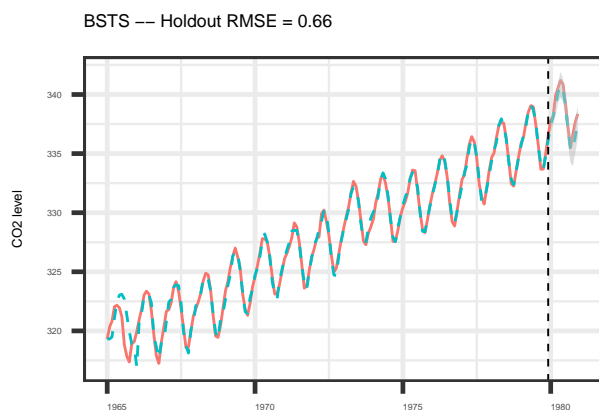
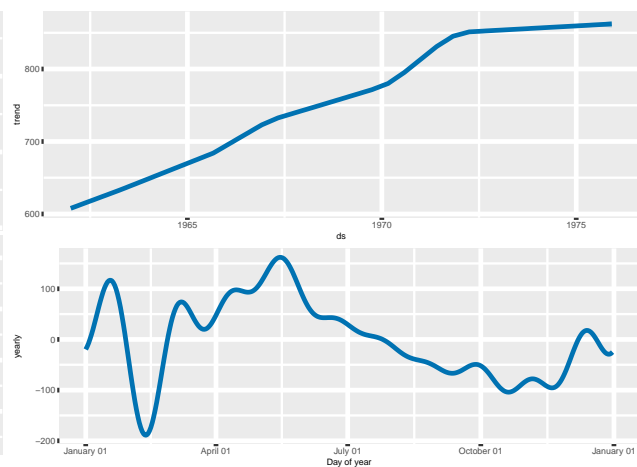
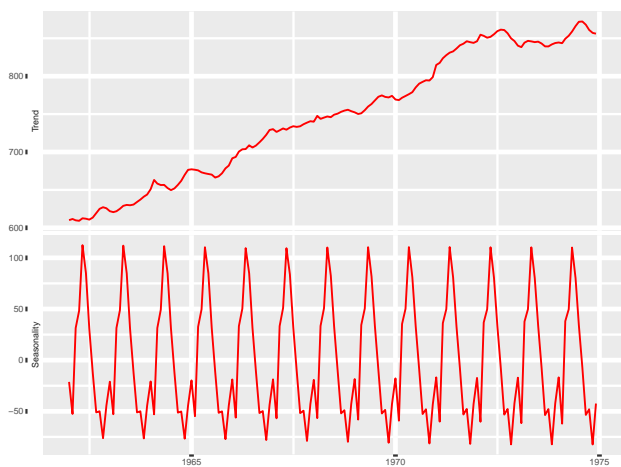
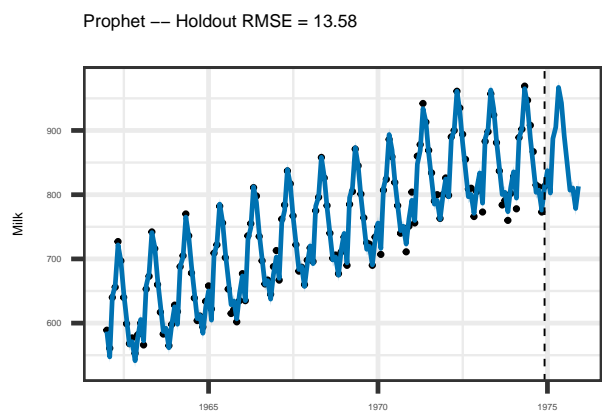
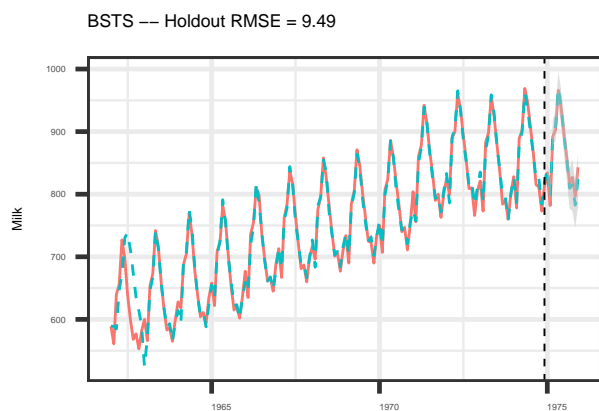
Обучим модели BSTS и Prophet и сделаем прогнозы на несколько месяцев (лет) вперёд. Для этого зададим тренд и сезонность:

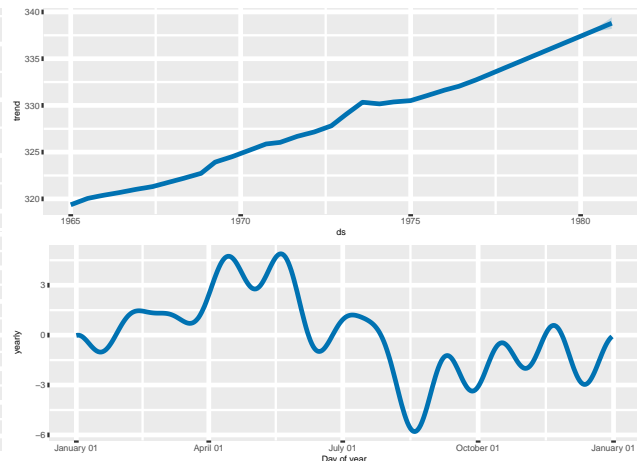
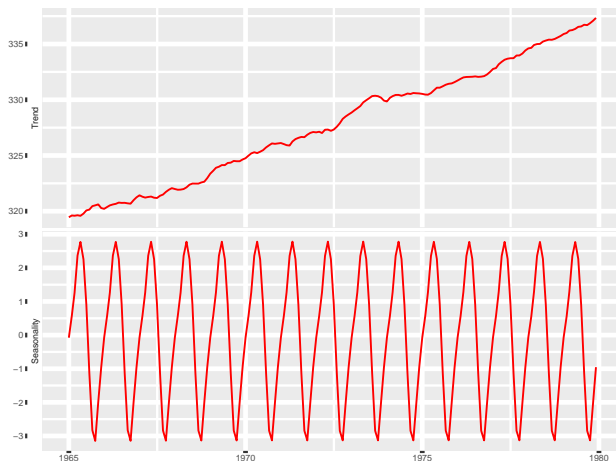
```
# fit BSTS with trend and seasonal component
ss <- AddLocalLinearTrend(list(), yts)
ss <- AddSeasonal(ss, yts, nseasons = 12)

# fit Prophet with trend and seasonal
m <- prophet(yts_df, growth='linear', yearly.seasonality="auto", weekly.seasonality=FALSE)
```

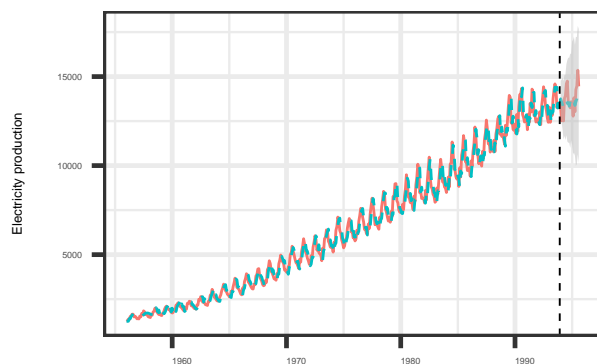
Изобразим прогнозы, а также компоненты¹⁴ (тренд и сезонность), которые мы явно указывали при моделировании временных рядов. Извлечение составляющих временного ряда является одним из преимуществ моделей BSTS и Prophet перед ARIMA-моделью, в которой данные компоненты удаляются с помощью дифференцирования и не анализируются.

¹⁴ Стоит отметить особенность функции `prophet_plot_components()` для построения компонент ряда: данная функция возвращает список из графиков для каждой компоненты, поэтому изображение для отдельной компоненты i можно получить как `prophet_plot_components()[[i]]`

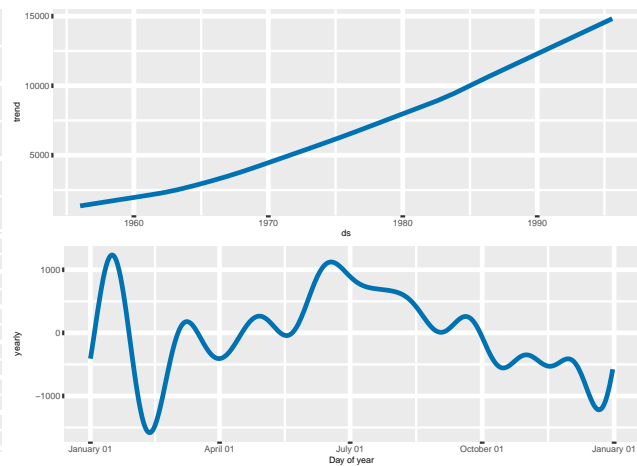
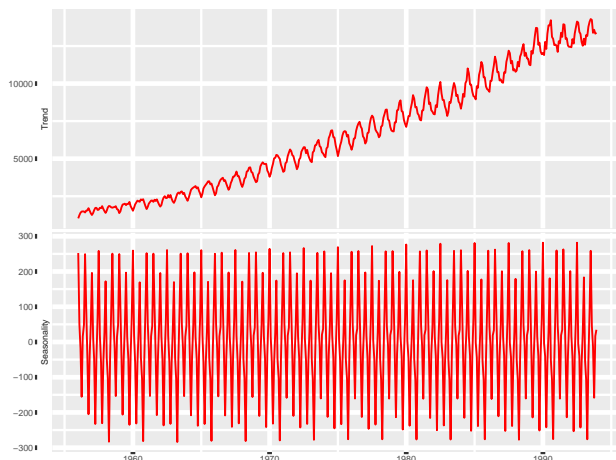
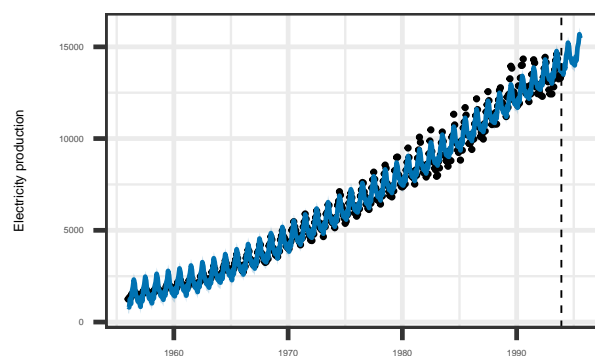




BSTS --- Holdout RMSE = 671.83



Prophet --- Holdout RMSE = 821.11



Из полученных прогнозов и значений $RMSE$ видно, что оба алгоритма показали хорошее качество подгонки тренда и сезонности, при этом модель локального линейного тренда и сезонности BSTS обладает меньшим значением ошибки прогнозов, чем модель линейного тренда и сезонности Prophet.

Стоит, однако, отметить преимущество Prophet по сравнению с BSTS в работе с пропущенными значениями временного ряда: Prophet устойчив к пропускам в данных; BSTS пытается заполнить пропуски, что приводит к несовпадению размерностей прогнозов и истинных значений (поэтому перед применением BSTS нужно убедиться, что пропуски в данных заполнены каким-то значением).

(Ссылка на репозиторий с используемыми данными и кодом)

Список литературы

- N. Shephard. A. C. Harvey. Structural time series models. *Handbook of Statistics*, 11:261–302, 1993.
- S. Peters A. Harvey. Estimation procedures for structural time series models. *Journal of Forecasting*, 9:89–108, 1990.
- G. Jenkins. G. Box. Time series analysis: Forecasting and control. *San Francisco: Holden-Day*, 1970.
- R. J. Hastie, T. J.; Tibshirani. Generalized additive models. *Chapman & Hall/CRC*, 1990.
- K. Larsen. Sorry arima, but i'm going bayesian. apr 2016.
- B. Letham S. J. Taylor. Forecasting at scale. 2017a.
- B. Letham S. J. Taylor. *Package prophet*. Facebook, apr 2017b.
- Steven L. Scott. *Package bst*s. Google, may 2017.